Planches 1-19

Objekttyp: **Group**

Zeitschrift: **Cahiers d'archéologie romande**

Band (Jahr): **152 (2015)**

PDF erstellt am: **28.05.2024**

Nutzungsbedingungen

Die ETH-Bibliothek ist Anbieterin der digitalisierten Zeitschriften. Sie besitzt keine Urheberrechte an den Inhalten der Zeitschriften. Die Rechte liegen in der Regel bei den Herausgebern.
Die auf der Plattform e-periodica veröffentlichten Dokumente stehen für nicht-kommerzielle Zwecke in Lehre und Forschung sowie für die private Nutzung frei zur Verfügung. Einzelne Dateien oder Ausdrucke aus diesem Angebot können zusammen mit diesen Nutzungsbedingungen und den korrekten Herkunftsbezeichnungen weitergegeben werden.
Das Veröffentlichen von Bildern in Print- und Online-Publikationen ist nur mit vorheriger Genehmigung der Rechteinhaber erlaubt. Die systematische Speicherung von Teilen des elektronischen Angebots auf anderen Servern bedarf ebenfalls des schriftlichen Einverständnisses der Rechteinhaber.

Haftungsausschluss

Alle Angaben erfolgen ohne Gewähr für Vollständigkeit oder Richtigkeit. Es wird keine Haftung übernommen für Schäden durch die Verwendung von Informationen aus diesem Online-Angebot oder durch das Fehlen von Informationen. Dies gilt auch für Inhalte Dritter, die über dieses Angebot zugänglich sind.

Ein Dienst der *ETH-Bibliothek*
ETH Zürich, Rämistrasse 101, 8092 Zürich, Schweiz, www.library.ethz.ch

http://www.e-periodica.ch

PLANCHE 1

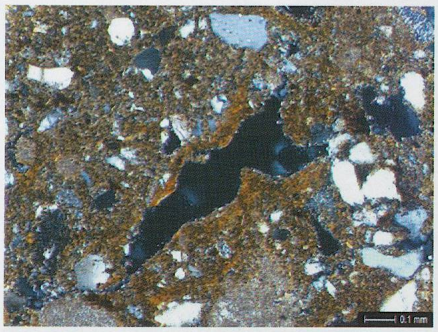

1. Vue sous microscope de la couche 7a (col. 14 ; lame mince 331.2). On distingue un vide racinaire avec une illuviation poussiéreuse et une faible réticulation de la masse due aux argiles. Le sédiment se constitue d'une matrice carbonatée micritique et comprend une certaine concentration d'argile, ainsi que d'abondants sables de quartz. Lumière polarisée.

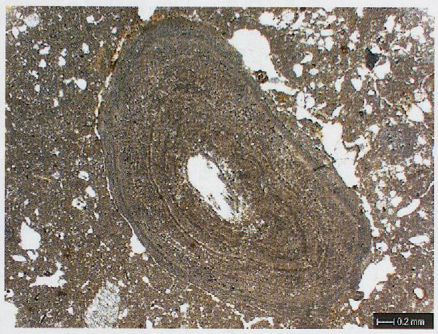

2. Oncoïde d'eau douce et presque concentrique, au sein de la couche 6b (col. 7 ; lame mince 329.1). Cet exemplaire montre au moins sept lamines carbonatées accumulées autour d'un nucléus d'origine organique dégradé. La structure compacte et lisse indique que l'oncoïde a été périodiquement exposé à l'air libre. Le milieu de sédimentation correspond ainsi à un ruisseau ou une mare. Lumière analysée.

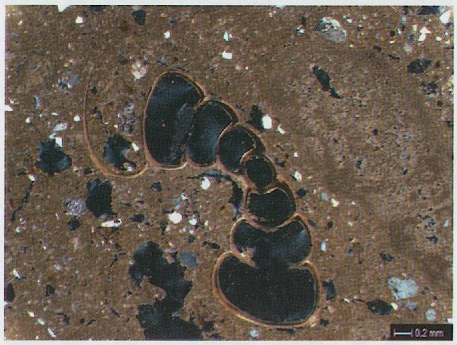

3. Coupe transversale d'une coquille de mollusque (*Discus rotundatus*, détermination N. Thew) dans la couche 6b (col. 7 ; lame mince 329.1). Cet exemplaire bien préservé est intégré à un silt carbonaté micritique, légèrement sablonneux et compact. A droite, un fragment d'oncoïde est reconnaissable. Lumière polarisée.

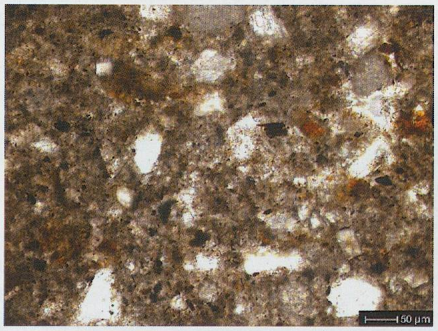

4. La matrice de l'ensemble 5 (col. 14 ; lame mince 327.1) correspond au même silt carbonaté micritique et sablonneux que celui de la couche 6a (en clair : sables de quartz ; en gris : silts carbonatés). Des précipitations ferromanganiques (en orange) et des charbons de bois (en noir) sont intégrés à la matrice et sont responsables de la couleur plus foncée de l'ensemble. Lumière analysée.

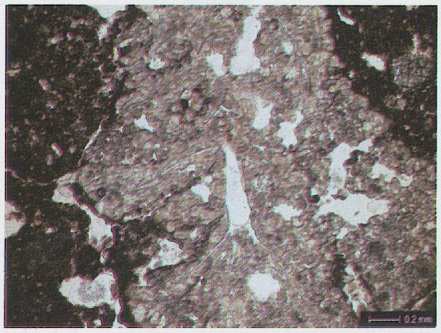

5. Concrétion sparitique au pourtour d'une racine dégradée dans l'ensemble 5 (col. 14 ; lame mince 325.2) où la teneur en oncoïdes diminue nettement. Ceux-ci sont substitués par des fragments de tuf calcaire de forme irrégulière. Lumière analysée.

PLANCHE 2

6. Fragment d'os subarrondi et altéré, visiblement remanié, dans l'ensemble 5 (col. 14 ; lame mince 327.1). D'autres esquilles d'os et des charbons de bois indiquent une activité anthropique. Lumière analysée.

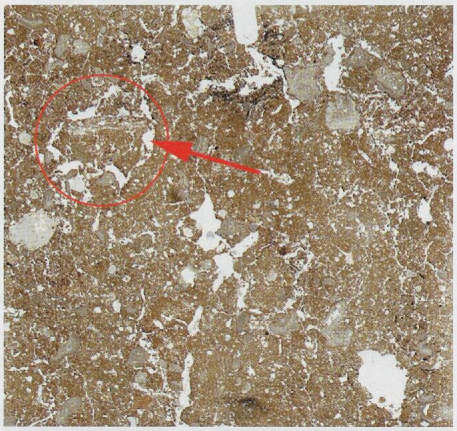

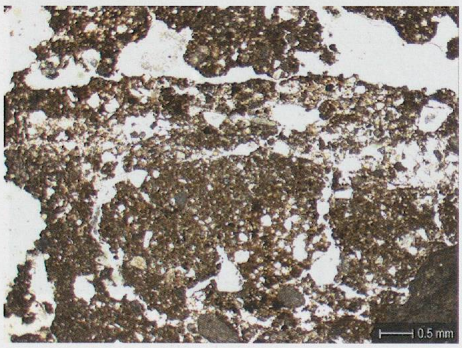

7. Un scannage de la lame mince 286.2, dans la partie supérieure de la couche 3b (en haut), révèle une structure à chambres et chenaux. Dans le cercle rouge, on distingue un agrégat de sol remanié, fortement agrandi dans la vue sous microscope (en bas, lumière analysée). Au sommet de ce fragment se trouve un liseré millimétrique de sablons finement lités, interprété comme un niveau tassé par piétinement.

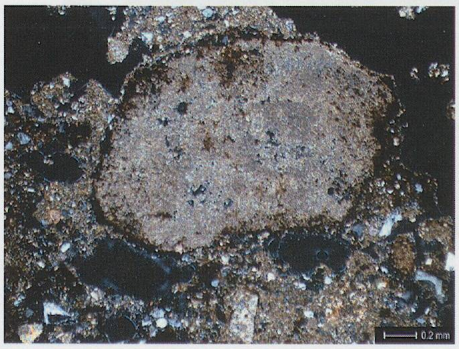

8. Précipitation ferromanganique sur un fragment d'oncoïde altéré en voie de dissolution, au sein de la couche 3a (col. 7 ; lame mince 286.1). Le taux de carbonates dans la matrice est plus bas que dans les ensembles 5 et 6. Lumière polarisée.

PLANCHE 3

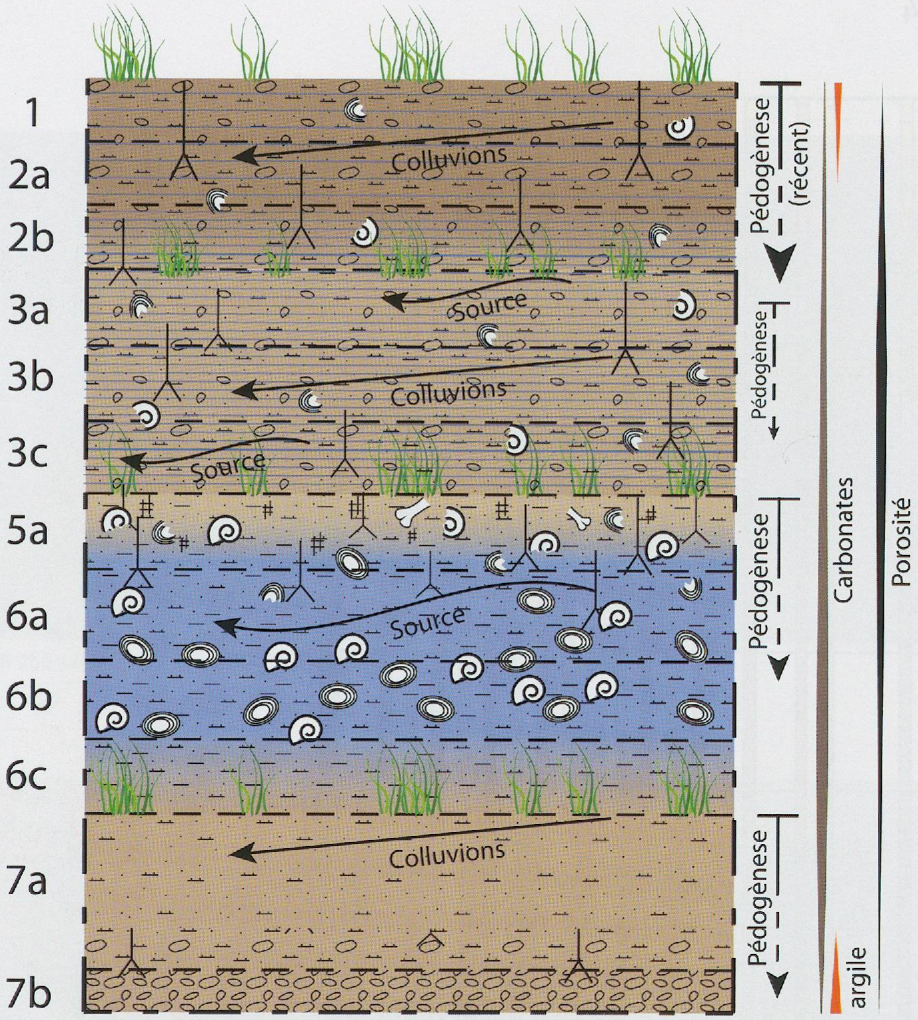

Légende

- Gravillon (avec sable et argile)
- Silt sablo-gravilloneux
- Silt sablonneux
- Pédogenèse
- Forte influence de la source
- Influence de la source
- Faible influence de la source
- Tuf-oncoïde / fragm.
- Coquille de mollusque / fragm.
- Esquille d'os
- Bioturbation
- Charbon de bois

Profil synoptique du site d'Onnens-Praz Berthoud.

PLANCHE 4

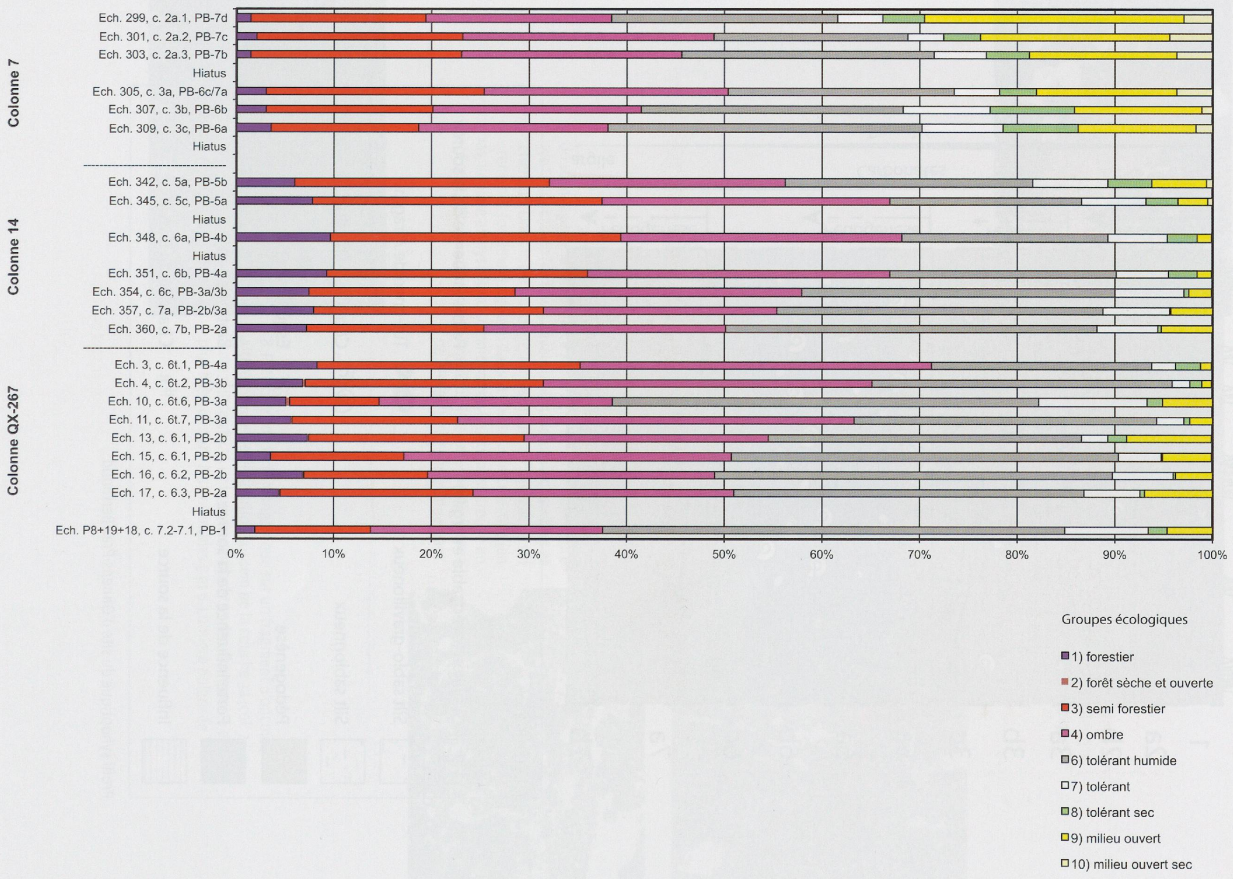

Spectre malacologique - proportion par échantillon des groupes écologiques (sans les espèces palustres et aquatiques).

PLANCHE 5

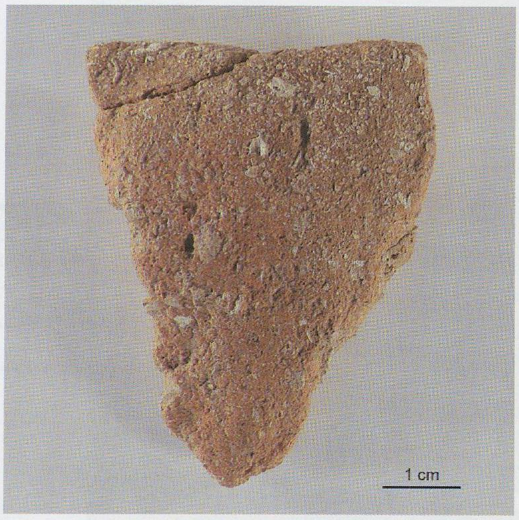

1. *Bord 7* (QK-266-125).

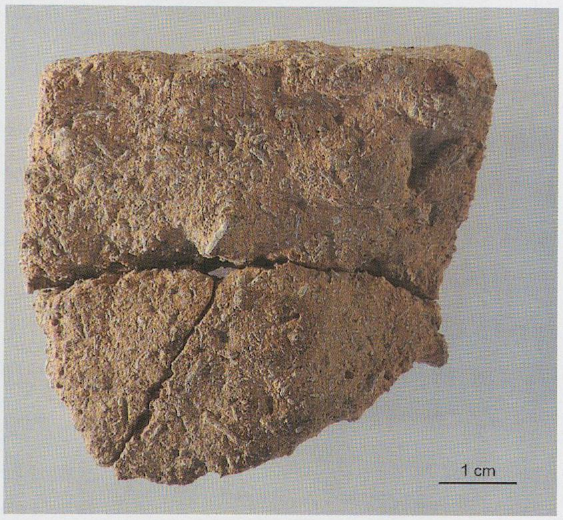

2. *Bord 2* (QO-262-110).

3. *Bord 3* (QP-263-100-101-102).

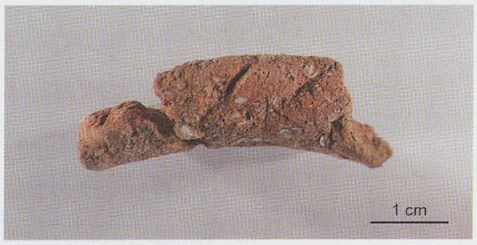

4. *Bord 5*, vue du décor incisé (QM-263-64).

PLANCHE 6

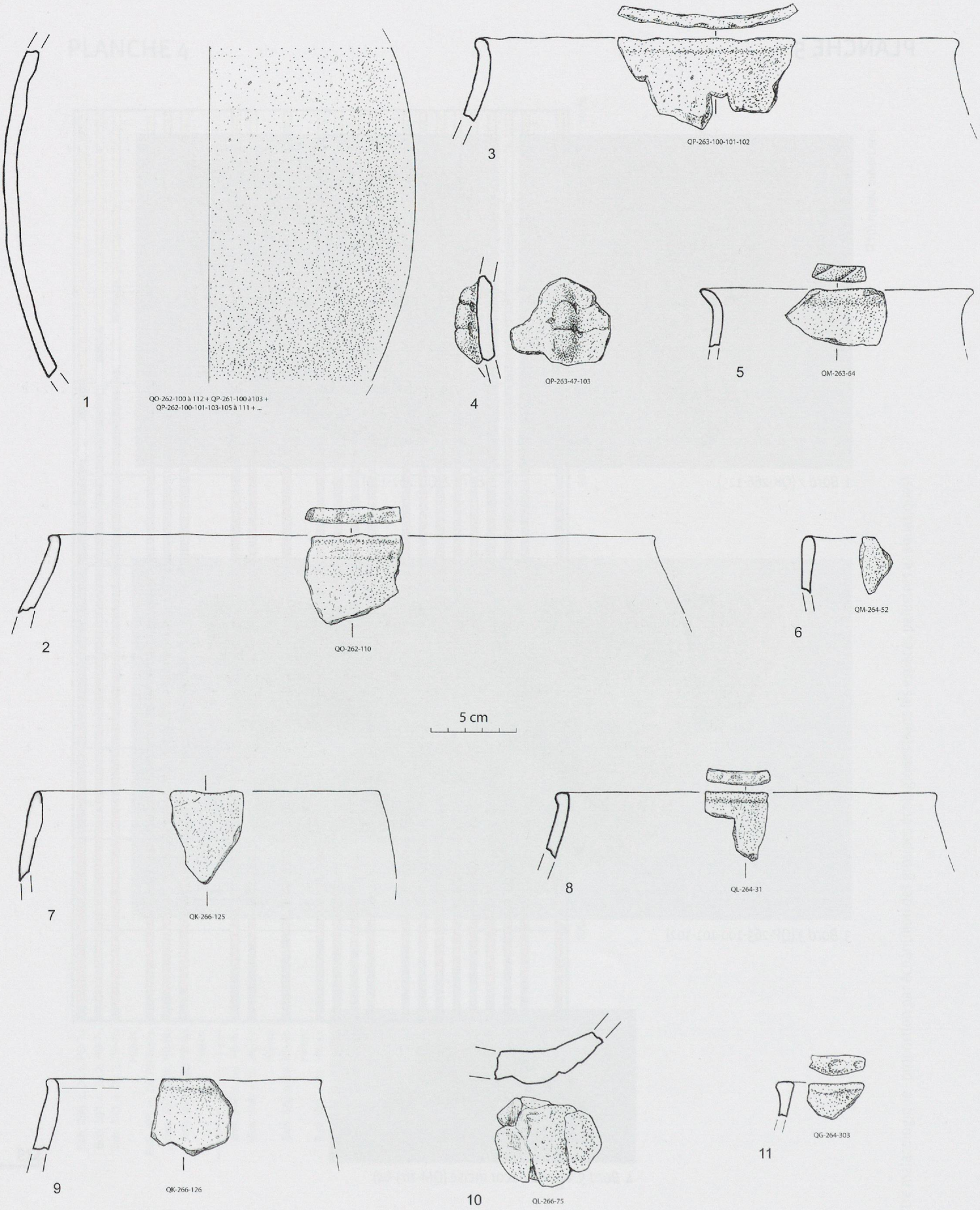

Céramique à dégraissant fossile (Ech. 1:3). 1: panse ; 2, 3, 5-9 et 11: bords ; 4: languette ; 10: fond.

PLANCHE 7

Localisation des affleurements de pierre jaune de Neuchâtel (en vert caca d'oie : C_{3k}) à proximité du site de Praz Berthoud (étoile). Atlas géologique de la Suisse 1:25'000, carte 114, éd. 2006 (source : Office fédéral de topographie).

PLANCHE 8

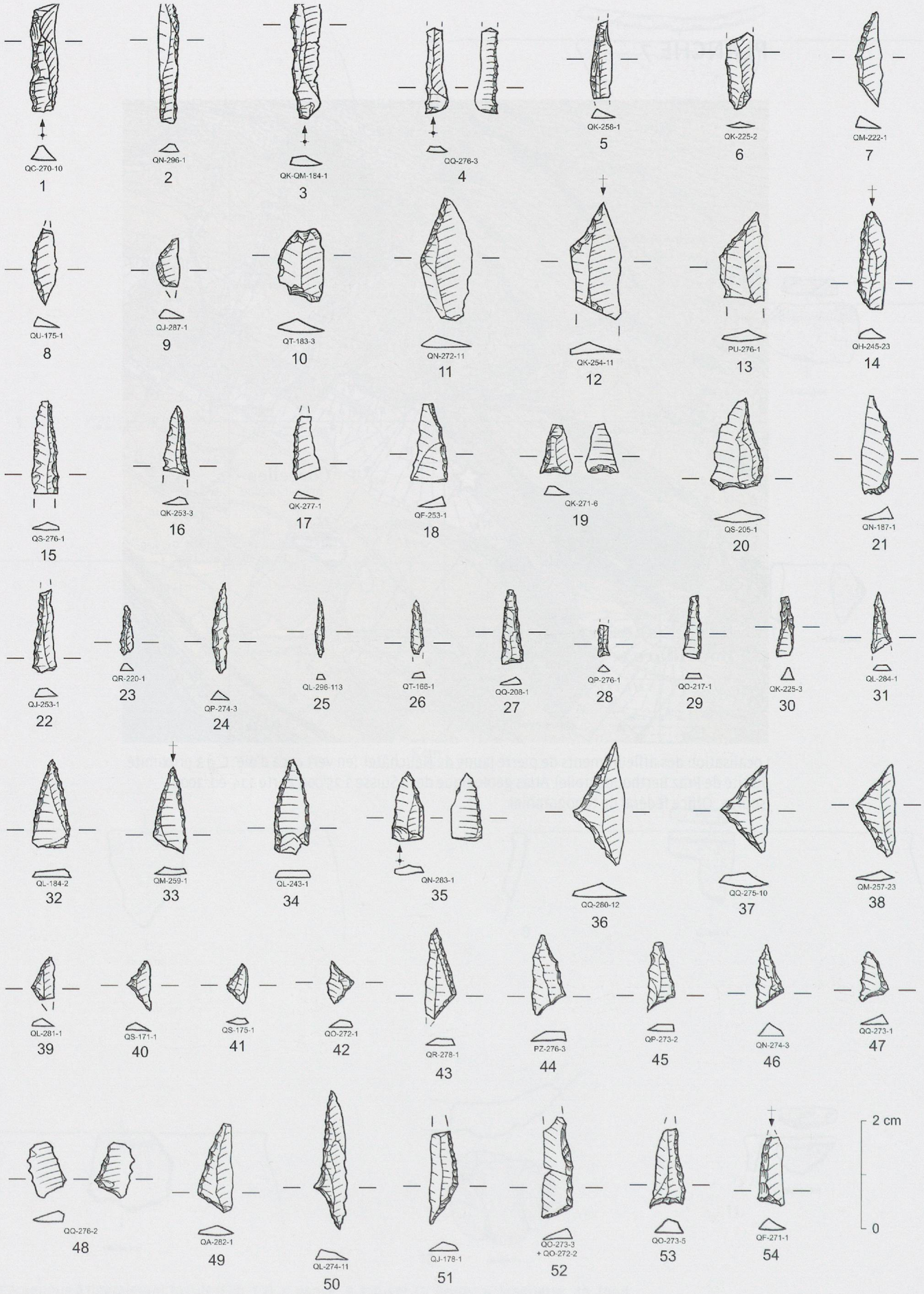

Lamelles à dos : 1 à 6 ; segments : 7 à 10 ; pointes à troncature : 11 à 13 ; pointes à dos simple 14 à 23 ; pointes à double dos : 24 à 35 ; triangles isocèles : 36 à 42 ; triangles scalènes : 43 à 54.

PLANCHE 9

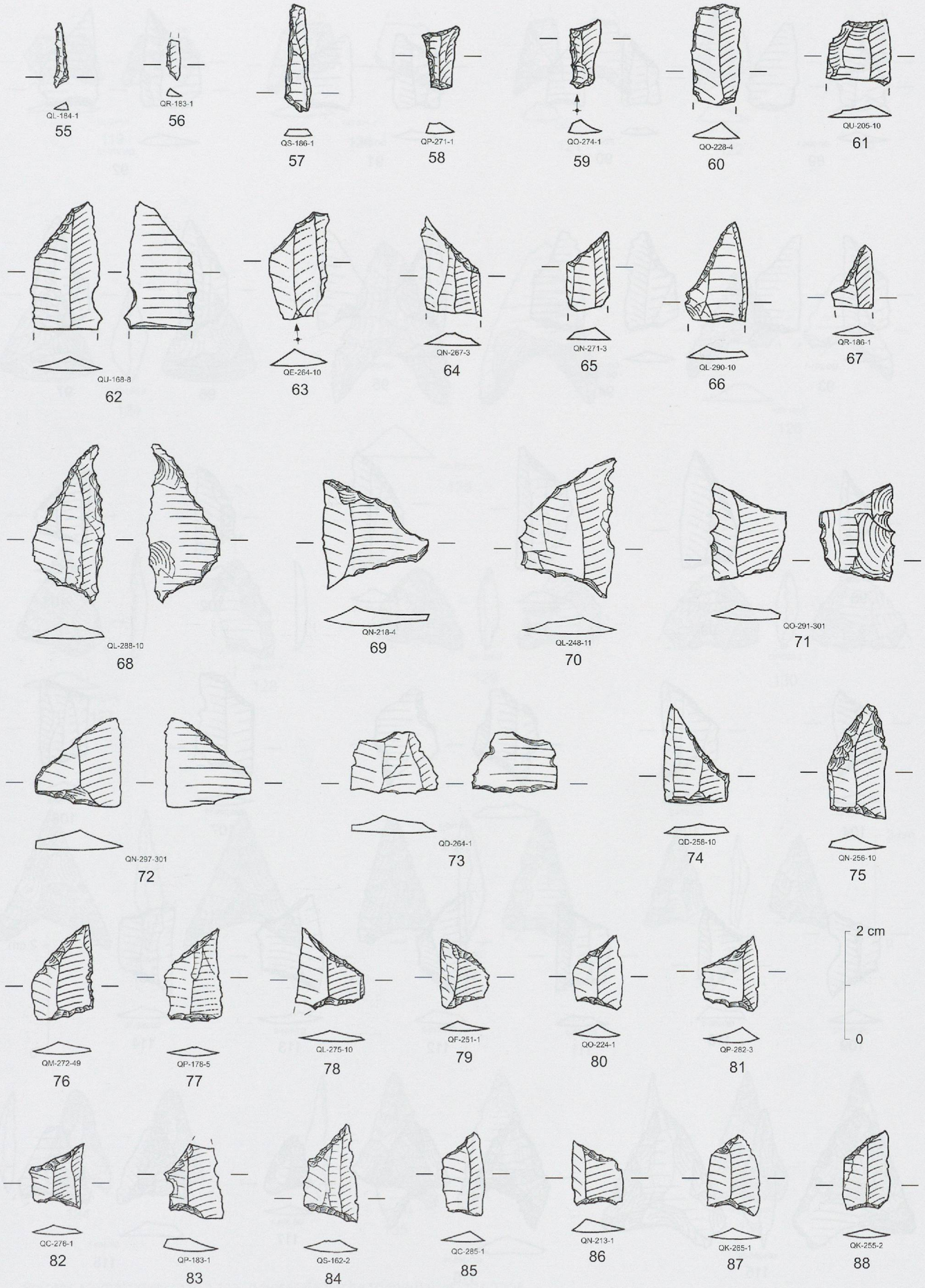

Triangles scalènes : 55 et 56 ; lamelles scalènes : 57 à 59 ; lamelles à troncature : 60 à 67 ; trapèzes : 68 à 88.

179

PLANCHE 10

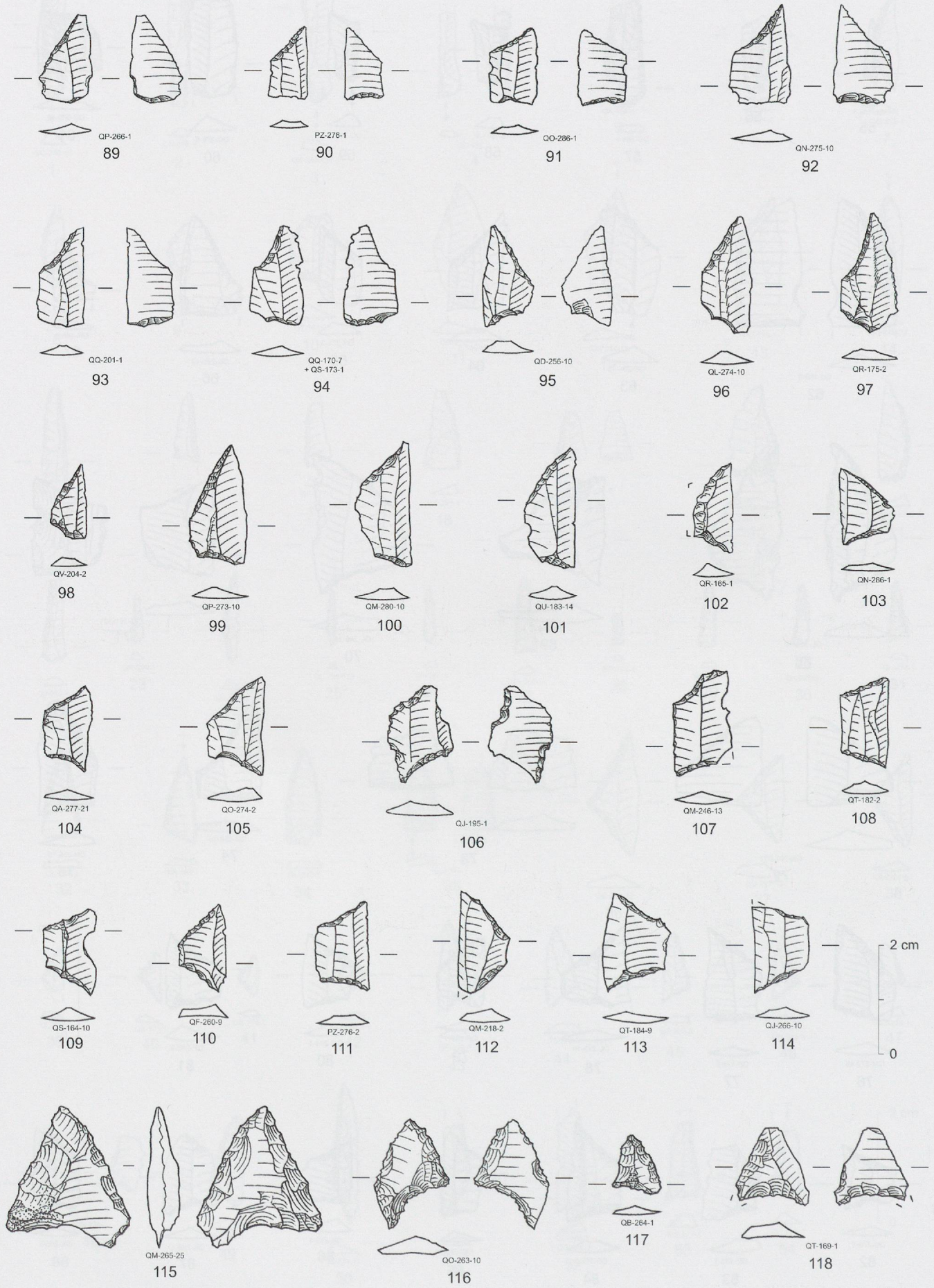

Trapèzes : 89 à 114 ; Pointes asymétriques : 115 à 118.

PLANCHE 11

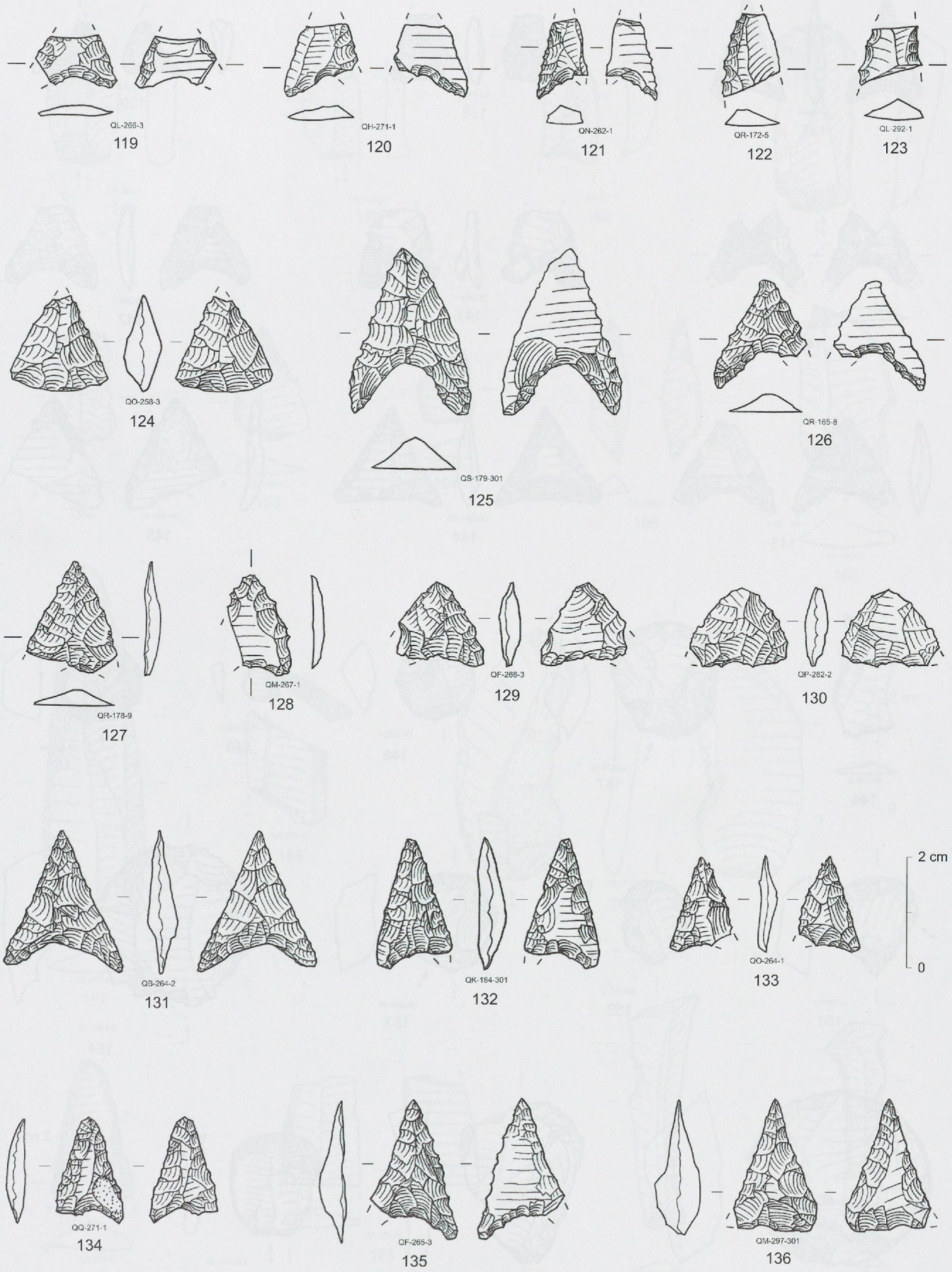

Pointes asymétriques : 119 à 123 ; pointes de flèche triangulaires : 124 à 136.

PLANCHE 12

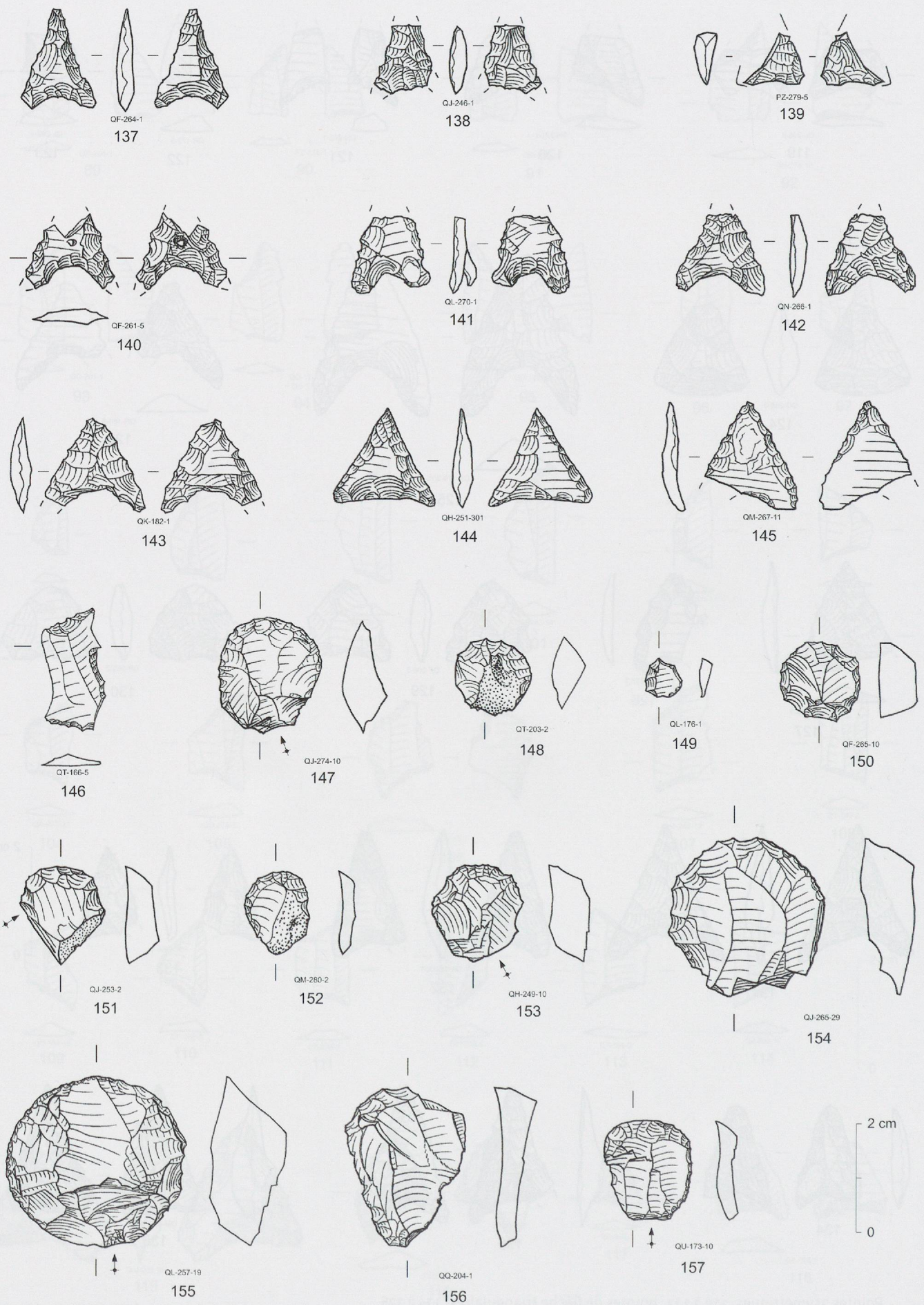

Pointes de flèche triangulaires : 137 à 145 ; divers (armatures) : 146 ; grattoirs : 147 à 157.

PLANCHE 13

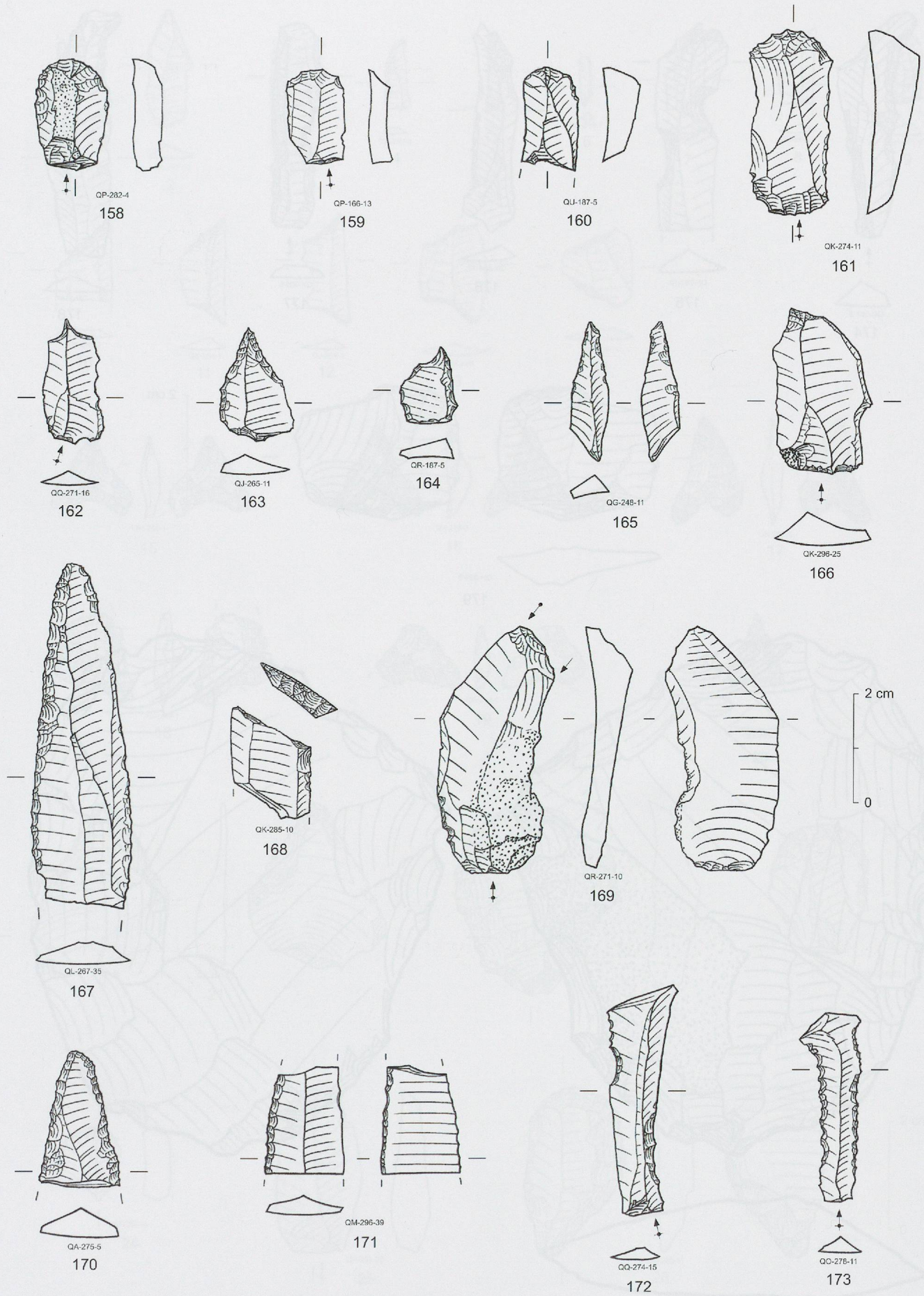

Grattoirs : 158 à 161 ; perçoirs : 162 à 166 ; pièces à retouches non abruptes : 167 ; troncature : 168 ; burin : 169 ; pièces à retouches abruptes : 170 et 171 ; pièces à enlèvements irréguliers : 172 et 173.

PLANCHE 14

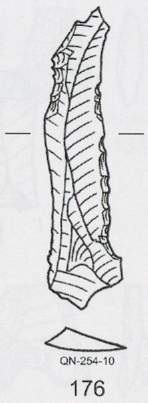

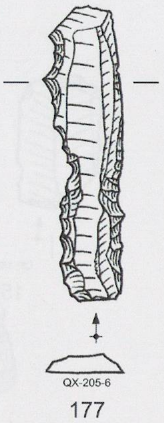

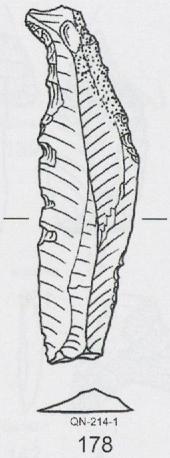

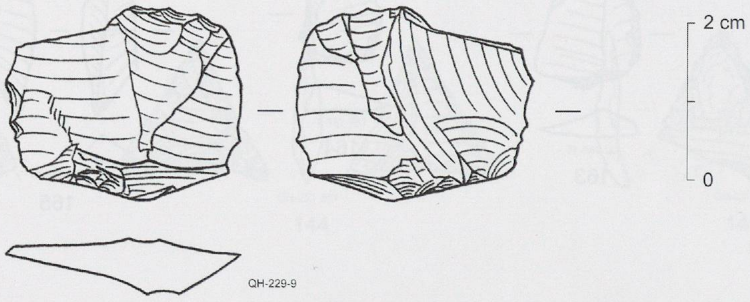

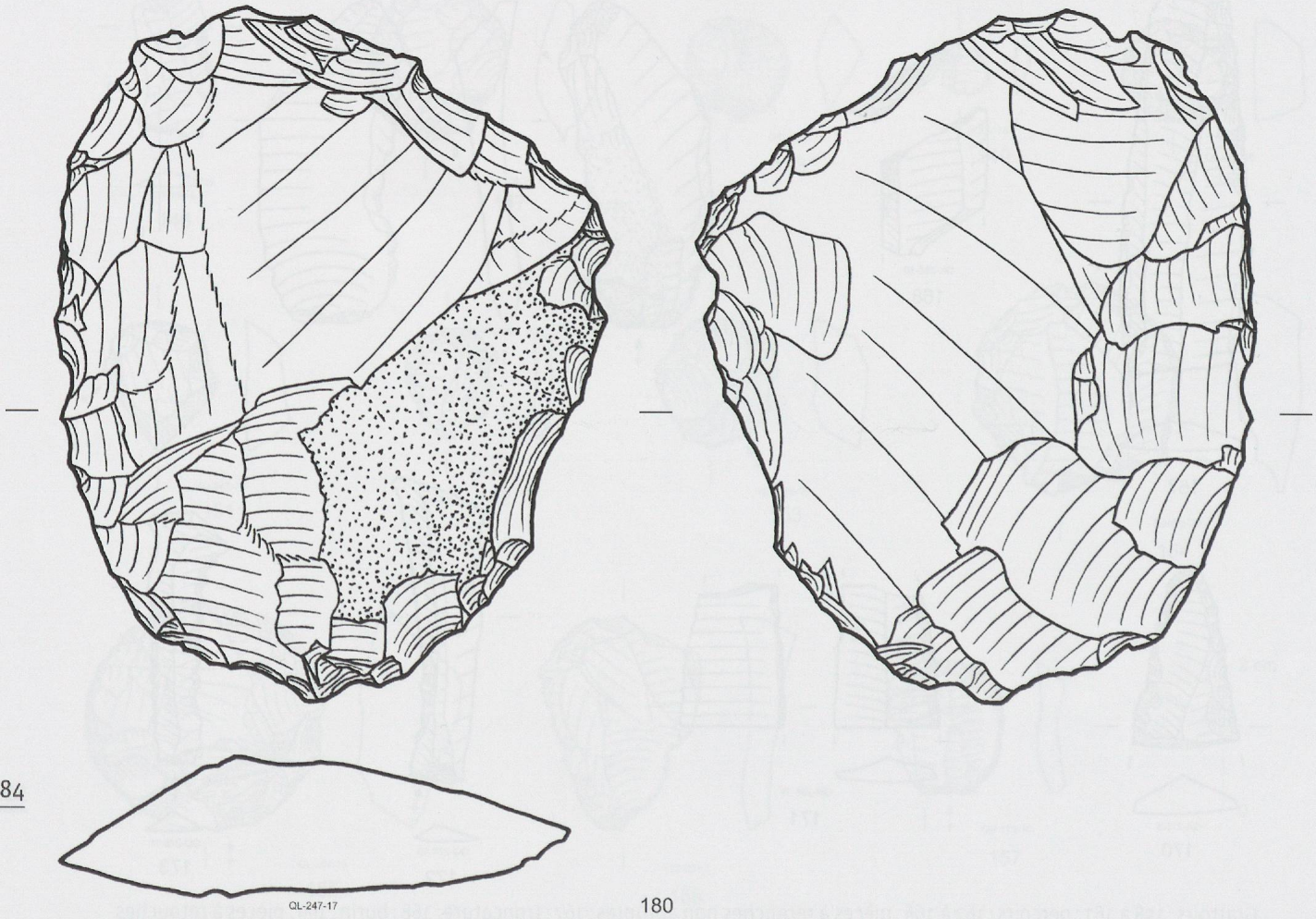

Pièces à enlèvements irréguliers : 174 à 179 ; divers (outils du fonds commun) : 180.

PLANCHE 15

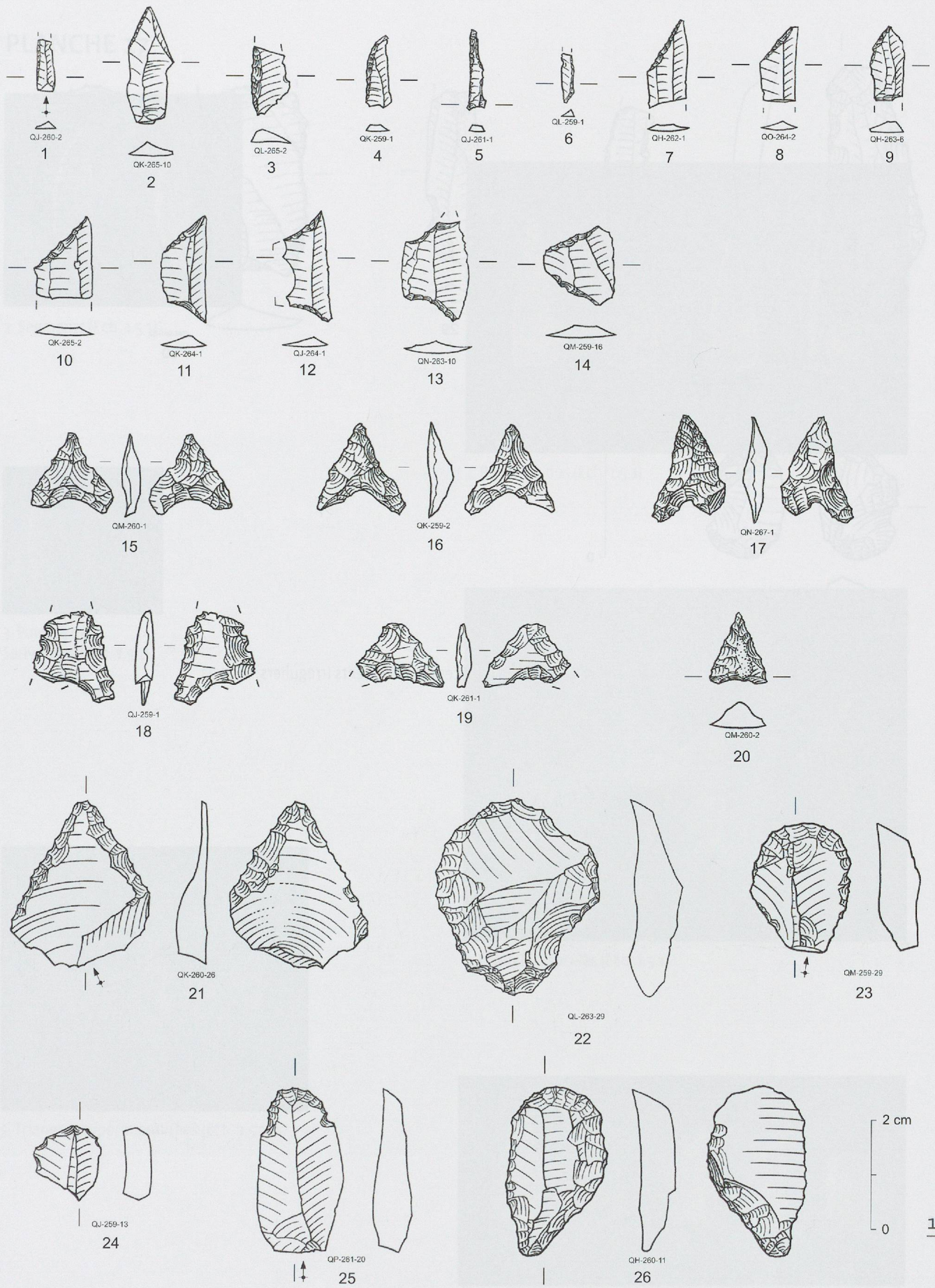

Mobilier de la couche 6a : lamelle à dos : 1 ; pointe à troncature : 2 ; pointes à dos simple 3 et 4 ; pointe à double dos : 5 ; triangle scalène : 6 ; lamelles à troncature : 7 à 10 ; trapèzes : 11 à 14 ; pointes de flèche triangulaires : 15 à 21 ; grattoirs : 22 à 26.

PLANCHE 16

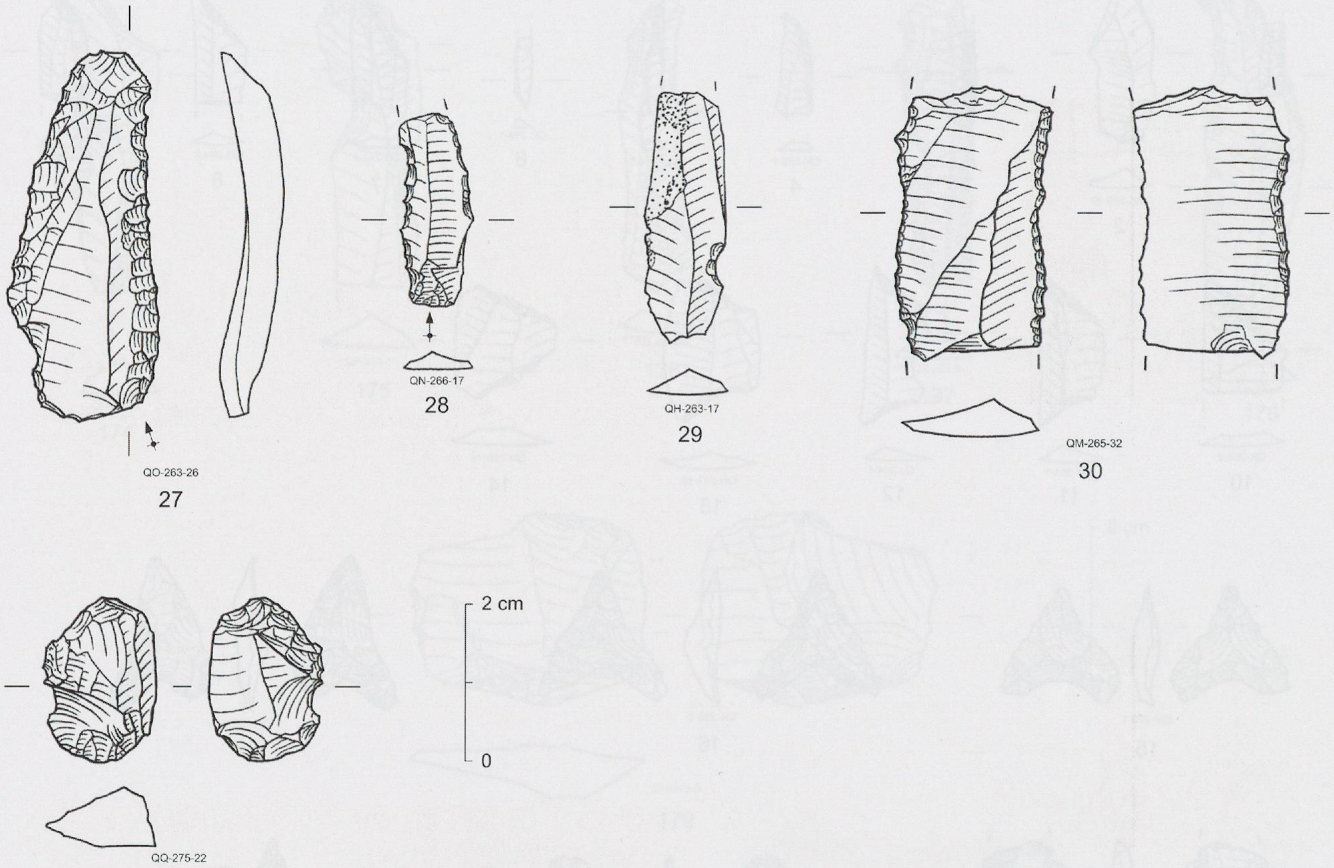

Mobilier de la couche 6a : Pièce à retouches non abruptes : 27 ; pièces à enlèvements irréguliers : 28 et 31.

PLANCHE 17

1. Segments (Ech. 1.5:1).

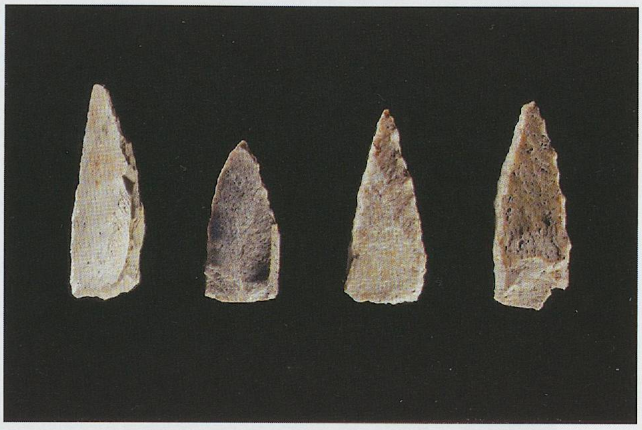

2. Pointes à dos (Ech. 1.5:1).

3. Pointes de Sauveterre (Ech. 1.5:1).

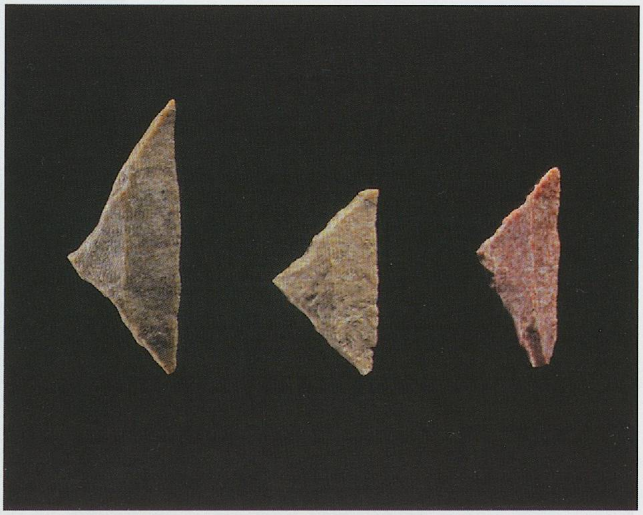

4. Triangles isocèles (Ech. 1.5:1).

5. Triangles hypermicrolithes (Ech. 1.5:1).

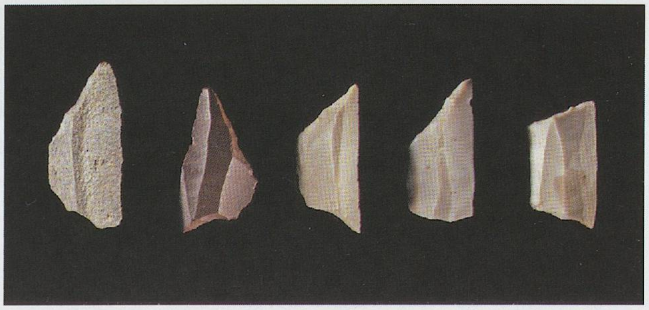

6. Trapèzes (Ech. 1.5:1).

PLANCHE 18

7. Pointes de flèche triangulaires à pédoncule et ailerons (Ech. 1.5:1)

8. Grandes pointes de flèche triangulaires à base concave (Ech. 1.5:1).

PLANCHE 19

9. Petites pointes de flèche triangulaires à base concave (Ech. 1.5:1).

10. Petites pointes de flèche triangulaires à base concave (Ech. 1.5:1)

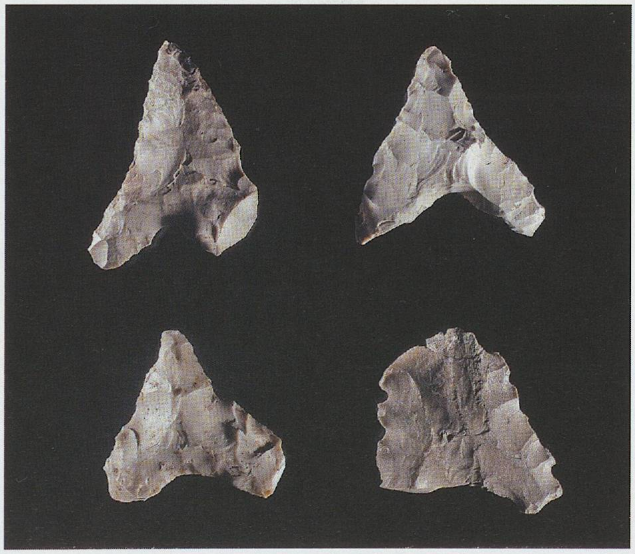

11. Petites pointes de flèche triangulaires à base concave, assemblage de la couche 6a (Ech. 1.5:1)